

PERBEDAAN KARAKTERISTIK KIMIA AIR DAN MINERALOGI BATUAN PADA FORMASI BALIKPAPAN DAN KAMPUNGBARU PADA TAMBANG BATUBARA, DAERAH KUTAILAMA KEC. ANGGANA, KAB. KUTAI KARTANEGERA

Ibnu Hasyim^{1,2}, Heru Hendrayana¹, Arifudin Idrus²,

¹⁾*Teknik Geologi, Fakultas Teknik, Universitas Gadjah Mada*

²⁾*Pusat Studi Lingkungan Hidup, Universitas Gadjah Mada*

³⁾*Fakultas Teknik, Universitas Kutai Kartanegara*

Email : ndhasyim@yahoo.co.id

Abstrak

Kegiatan penambangan yang terjadi di daerah Kutailama, Kec. Anggana akan berpengaruh terhadap perubahan morfologi maupun tataguna lahan daerah tersebut, maka yang akan muncul adalah terjadinya perubahan hidrogeologi (terpotongnya perlapisan batuan) dan terjadi pelapukan kimia batuan akibat lahan yang terbuka oleh aktifitas penambangan. Dengan kejadian-kejadian tersebut sehingga mengakibatkan terganggunya akuifer airtanah, sedang pada areal yang terbuka akan terjadi pelapukan kimia, dan pelarutan mineral-mineral batuan oleh air yang kemudian akan mengalami proses oksidasi mineral-mineral yang mengandung Fe (besi) atau S (sulfur), sehingga akan membentuk larutan asam sebagai sumber kontaminan airtanah. Tujuan dari penelitian ini untuk mengetahui karakteristik kimia air dan mineralogi batuan dari dua formasi yang berada didaerah penelitian yaitu Formasi Balikpapan dan Formasi Kampungbaru. Metode yang digunakan untuk mendapatkan data yaitu dengan metode analisis terhadap konsentrasi kandungan kimia air dan mineralogi batuan dari kedua formasi yang ada di daerah penelitian. Dengan mengetahui tingkatkan kandungan unsur logam dan senyawa sulfida yang yang terdapat pada airtanah dan mineralogi batuan, sehingga penyebab dari sumber kontaminasi pada airtanah akan diketahui. Diharapkan dari penelitian ini dapat memahami karakteristik dari airtanah dan mineralogi batuan serta hidrogeologi di sekitar daerah penelitian, sehingga dapat mengetahui sumber sebagai penyebab kontaminasi airtanah. Secara stratigrafi regional daerah penelitian merupakan bagian dari Cekungan Kutai (*Kutai Basin*) dan masuk kedalam dua Formasi, yaitu Formasi Kampungbaru dan Formasi Balikpapan. Formasi Balikpapan terdiri dari batupasir kuarsa dan perselingan antara batupasir dan lempung dengan sisipan batubara, dan Formasi Kampungbaru terdiri dari perselingan batulanau dengan batupasir dengan sisipan batubara dan satuan batupasir.

Kata Kunci: Karakteristik kimia air, mineralogi, *formation*

1. Pendahuluan

Daerah Kutailama merupakan bagian dari tatanan geologi Antiklinorium Samarinda bagian timur, secara stratigrafi masuk dalam Cekungan Kutai (*Kutai Basin*), yang mana terdiri dari 2 (dua) formasi, yaitu Formasi Balikpapan dan Kampungbaru, dan kedua formasi tersebut terlipat membentuk antiklin dan sinklin yang membelah daerah Kutailama dan sekitarnya, yang mempunyai arah relatif timurlaut - baratdaya.

Sekitar daerah penelitian mulai banyak dilakukan kegiatan penambangan dengan sistem tambang terbuka, akibat dari tambang terbuka maka akan banyak menyebabkan perubahan morfologi dan tataguna lahan

sehingga akan terganggunya akuifer airtanah pada perlapisan batuan dan untuk daerah terbuka akan terjadi pelapukan kimia batuan. Dalam pelapukan kimia menyebabkan terjadinya proses oksidasi senyawa-senyawa sulfida pada batuan seperti pada mineral-mineral pirit, markasit, dimana mineral tersebut cukup banyak mengandung unsur logam, sehingga kalau larut dalam air maka akan membentuk air asam tambang. Maksud atau tujuan dilakuakn penelitian ini adalah untuk mengetahui karakteristi kimia air dan mineralogi batuan dari 2 (dua) formasi yang ada di daerah penelitian.

Secara geografis daerah Kutailama masuk kedalam wilayah Kec. Anggana, Kab. Kutai

Kartanegara, dengan mempunyai luasan sekitar 4.097 Km² dan untuk mencapai daerah tersebut dari Samarinda yang berjarak 40 km dapat ditempuh dengan kendaraan roda dua maupun roda empat.

2. Metode Penelitian

Metode yang digunakan adalah dengan cara pendekatan analisis terhadap komposisi kimia air dan mineralogi batuan, baik pada Formasi Balikpapan maupun Formasi Kampungbaru. Dalam kajian ini diharapkan dapat mengetahui karakteristik kimia air dan mineralogi batuan dari masing-masing formasi.

Dengan memahami kondisi hidrologi dan hidrogeologi daerah penelitian yang bertujuan untuk mengetahui karakteristik air permukaan dan air tanah dalam lapisan akuifer pada areal penambangan maupun lingkar tambang.

Sampel air digunakan untuk analisis kualitas air permukaan dan airtanah yang diambil dari air sungai, air pit aktif dan non aktif dan airtanah dari lubang bor. Pengambilan sampel dilakukan bersamaan pada saat survei lapangan, pengukuran muka airtanah, dan uji akuifer. Variasi pengambilan sampel ini didasarkan pada luasan daerah, keterwakilan sampel, dan keberadaan sumur dari bekas lubang bor yang masih layak (tidak rusak).

Kegiatan pemboran adalah salah satu cara untuk mendapatkan data-data yang berupa perlapisan litologi, satuan batuan/litostratigrafi, dan struktur geologi yang berkembang di daerah penelitian. Data pemboran menggunakan jenis pemboran *full coring* dengan kerapatan jarak antar bor 100–400 m. Sebelumnya PT. Raja Kutai Baru Makmur telah melakukan pemboran sebanyak 194 titik bor, kemudian dilakukan pengembangan eksplorasi dengan dilakukan pemboran sebanyak 37 titik bor yang bersamaan dengan peneliti, sedangkan peneliti melakukan pemboran sendiri sebanyak 6 titik bor dalam waktu dua bulan (1 Nopember–30 Desember 2014). Alat bor yang digunakan menggunakan alat bor *Jacro 200 series* diamater bor batang mesin bor jenis NQ (3 inch).

Sampel batuan dari hasil pemboran *full coring* kemudian dianalisis, sehingga diperoleh kedudukan stratigrafi dari perlapisan batuan, batas satuan litologi, struktur, ketebalan, dan formasi batuannya secara terperinci.

Sampel batuan diambil dari dua (2) formasi (Formasi Balikpapan dan Formasi

Kampungbaru) dengan kedalaman antara 2 meter sampai 60 meter. Tujuan pengambilan sampel untuk mengetahui komposisi kimia dari mineralogi batuan penyusun formasi. Adapun pengambilan sampel batuan meliputi:

-Uji Statik PAF dan NAF.

Uji analisis geokimia batuan meliputi; pendeskripsi sampel secara langsung di lokasi untuk menentukan kelayakan batuan dan jenis batuan dan dilanjutkan dengan pengemasan sampel dalam kantong plastik tersegel dan diberi label/kode lokasinya kemudian dianalisis uji statik metode NAPP di Laboratorium Coal dan AAT PT. Tekmira (bandung). Data hasil analisis NAPP antara lain: % TS (Total Sulfur), MPA (*Maximum Potencial Acidity*), ANC, dan NAG pH.

-Uji XRD dan Petrografi

X-ray Diffraction adalah metode yang digunakan untuk menentukan struktur atom dan molekul kristal, di mana atom kristal menyebabkan berkas sinar-X untuk lentur ke banyak arah tertentu. Dari kerapatan elektron ini posisi rata-rata dari atom dalam kristal dapat ditentukan, serta ikatan kimia mineral. Uji XRD digunakan untuk menganalisis mineral sekunder, khususnya mineral yang berasal dari pelupukan mineral primer dalam persen berat dengan metode *bulk* dan fraksi halus (*clay fraction*).

Analisis petrografi merupakan analisis sayatan tipis dari contoh batuan. Pengamatan sayatan pada mikroskop dengan pengamatan nikol sejajar dan silang.

-Uji XRF

X-ray fluorescence (XRF) adalah emisi karakteristik "sekunder" (atau neon) sinar-X berenergi tinggi atau sinar gamma, digunakan untuk analisis unsur dan analisis kimia, terutama dalam penyelidikan logam geokimia.

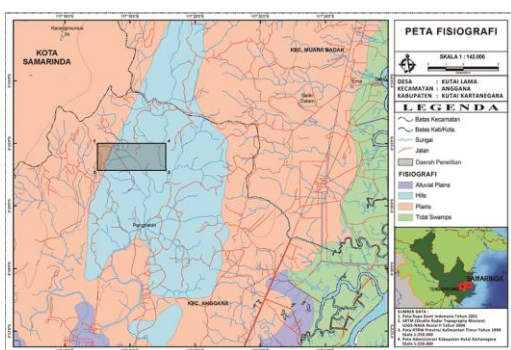
3. Hasil Dan Pembahasan

3.1. Geologi Regional dan Lokal

Lobeck (1939), dalam pembentukan bentang alam dan morfologi dikontrol oleh beberapa faktor, diantaranya, tenaga eksogen (destruktif) dan endogen (konstruktif), dan struktur geologi, seperti tektonik yang menyebabkan perlipatan perlapisan batuan, sesar atau patahan pada zona yang lemah, untuk gambaran secara umum bisa dilihat pada Gambar 3.1. Proses geologi yang terjadi dalam kurun waktu cukup lama hingga sampai

sekarang atau sampai pengamatan penelitian dilakukan. Geomorfologi daerah penelitian banyak dipengaruhi tenaga endogen dan eksogen, sedangkan resistensi atau kekompakan batuan kurang, seperti batupasir kwarsa, batulempung, batulanau dengan tingkat resistensi yang sangat lemah, sehingga batuan tersebut sangat mudah sekali mengalami proses pelapukan atau disintegrasi, dan ini banyak dibuktikan dengan adanya dataran rawa di daerah penelitian. Berdasarkan klasifikasi Vestappen (1985) daerah penelitian dibagi menjadi beberapa lahan diantaranya: Dataran rawa (F1), Tubuh Sungai (F2), Perbukitan homoklin (S1), dan Lembah anticlinal (S3).

Menurut Supriatna dkk (1995), stratigrafi Cekungan Kutai dari yang paling tua ke muda dimulai dari: (1) Formasi Pamaluan (Miosen Awal-Miosen Bawah); (2) Formasi Pulaubalang (Miosen Tengah-Miosen Akhir); dan (3) Formasi Balikpapan (Miosen Tengah-Miosen Akhir). Dari hasil pengamatan peneliti, bahwa daerah peneliti masuk kedalam Formasi Balikpapan dan Kampungbaru, dimana Formasi Balikpapan didominasi satuan batupasir kuarsa dan perselingan antara lempung dan pasir dengan sisipan batubara, sedangkan Formasi Kampungbaru terdiri dari satuan batupasir, dan perselingan batulanau dengan lanau lempungan dengan sisipan batupasir dan batubara. Struktur geologi yang berkembang di daerah penelitian berupa antiklin, yang banyak dipengaruhi oleh fisiografi dari Antiklinorium Samarinda, dimana antiklin ini mempunyai arah relatif timurlaut – baratdaya dengan jurus N $35^0 - 55^0$ N, dan dengan mempunyai arah kemiringan perlapisan (*dip*) relative ke tenggara yaitu berkisar antara $20^0 - 50^0$.



Gambar 3.1. Fisiografi Daerah Penelitian

3.2. Hidrologi dan Hidrogeologi

3.2.1. Hidrologi

Beberapa faktor yang berpengaruh terhadap peranan kelangsungan siklus hidrologi, seperti, geologi, morfologi, kondisi tata guna lahan dan iklim. Kondisi hidrologi mempunyai peranan penting dan penentu dalam proses penghitungan imbuhan airtanah dalam kuantitas dan kapasitas airtanah dan air permukaan (debit air permukaan). Kapasitas air permukaan sangat dipengaruhi oleh karakteristik kondisi DAS, tata guna lahan, daerah tangkapan hujan dan curah hujan daerah setempat.

Dari faktor hidrologi tersebut, daerah penelitian diperoleh nilai perhitungan seperti yang tertera dalam Tabel 3.1.

Tabel 3.1. Perhitungan airtanah pada kondisi alami Pada Sub DAS sungai Kutailama

Parameter	Stasiun	Satuan
	Meteorologi	
Persen luas catchment area	100	%
Curah hujan (P)	1530,8	mm th ⁻¹
Evapotranspirasi aktual (ET _r)	1306,6	mm th ⁻¹
Limpasan air permukaan (Ro)	36,74	mm th ⁻¹
Imbuhan airtanah (R)	187,5	mm th ⁻¹
Total imbuhan	247,81	m ³ th ⁻¹

3.2.2. Hidrogeologi

Kondisi hidrogeologi sangat dipengaruhi oleh lithologi batuan daerah penelitian, seperti karakteristik akuifer perlapisan batuan dan keterdapatannya sumber air. Berdasarkan dari klasifikasi Mandel dan Shiftan (1981), dan oleh Irawan dan Puradimadja (2013), disesuaikan dengan tipologi geomorfologi dan geologi Indonesia, maka daerah penelitian termasuk dalam tipologi sistem akuifer batuan sedimen terlipat. Sedimen terlipat merupakan lapisan sedimen yang dipengaruhi struktur perlipatan, seperti struktur antiklin didaerah penelitian yang membujur dari arah relatif baratdaya – timurlaut. Berdasarkan pembagian satuan litostratigrafi dan stratigrafi, bahwa unit hidrostratigrafi daerah penelitian bagian dari Unit Hidrogeologi Sistem Akuifer Batuan Sedimen Terlipat.

Hasil pumping test daerah penelitian diperoleh hasil konduktivitas hidrolik seperti dalam Tabel 3.2.

Tabel 3.2. Konduktivitas hidrolik dari hasil Pumping test

NO	Litologi dominan	Jenis aquifer	K* (m det ⁻¹)	Satuan batuan	Formasi
1	Batupasir	Akuifer atas (AK-1)	1,98×10 ⁻³ – 2,49×10 ⁻³	Batupasir dan batupasir lempungan	Kampungbaru
2	Lempung pasiran	Akuifor atas (AT-1)	8,49×10 ⁻⁴ – 8,16×10 ⁻⁵		
3	Batupasir kuarsa	Akuifer tengah (AK-2)	1,48 × 10 ⁻²	Batupasir kuarsa dan perselingan batupasir dan lempung	Balikpapan
4	Batupasir	Akuifer bawah (AK-3)	1,98 × 10 ⁻²		
5	Batulempung lanauan	Akuifor bawah (AT-3)	8,19×10 ⁻⁴		

Hasil pengamatan dari konsentrasi kimia air dilapangan diperoleh data dalam Tabel 3.3.

Tabel 3.3. Hasil pengukuran konsentrasi kimia air secara insitu

No	Lubang bor	Elevasi (m)	Kedalaman muka airtanah piezometrik (m)	Suhu (°C)	pH	TDS (mg L ⁻¹)
1	DH-PT-01	68,67	5,92	28,4	27,4	117
2	DH-PT-02	76,57	3,34	27,2	28,1	27
3	DH-PT-03	72,84	3,95	28,2	27,5	8
4	DH-PT-04	75,74	0,7	29,5	30	56
5	DH-PT-05	89,39	5,19	32,1	29,1	25
6	DH-PT-06	72,20	0	29,3	26,2	6
7	KL-20	94,21	5,92	29	29	34
8	KL-23	63,68	4,6	29,5	29,2	39
9	KL-33	105,00	5,95	31,5	28	56

3.3. Karakteristik Kimia Air dan Mineralogi Batuan

3.3.1. Kimia Air

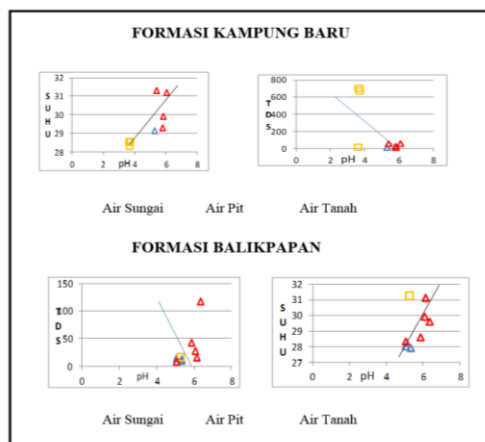
Kegiatan tambang batubara akan menghasilkan dampak lingkungan seperti munculnya air asam tambang. Air asam tambang mengandung unsur SO_4^{2-} dan logam berat seperti Fe, Al, dan Mn. Beberapa unsur tersebut terdapat pada sistem penyaliran tambang yang terangkat sebagai ion atau ion kompleks menuju ke hilir sungai. Dalam proses pengaliran, presipitasi (pengendapan) menjadi pemeran penting dalam pengurangan, bahkan penghilangan kandungan unsur-unsur berbahaya, seperti logam berat, melalui proses adsorpsi dan kopresipitasi.

Penentuan lokasi airtanah didasarkan pada arah aliran airtanah yang menjauh dan mendekat dari lokasi pit atau sarana penunjang tambang. Hasil yang diharapkan dari analisis kualitas air ini antara lain, mengetahui kelas air dengan menganalisa sampel yang mewakili jenis air (airtanah/permukaan), hubungan antara sifat kimia dan fisik air, dan indek kejemuhan dari mineral terhadap sampel air. Dari hasil pengambilan sampel air, maka setelah dilakukan uji laboratorium diperoleh hasil seperti dalam Tabel 3.4.

Tabel. 3.4. Hasil analisis laboratorium air (airtanah, air tambang, dan air permukaan) daerah penelitian

No	Parameter	Unit	Hasil Uji Laboratorium																	
			FORMASI												FORMASI KAMPUNG BARU					
			BALIKPAPAN						FORMASI KAMPUNG BARU											
			Air Sungai 2	Air Sungai 7	Air Sungai 12	Air Ex Pit Kolam	Air Bor 1H - PT-01	Air Bor 1H-PT-02	Air Bor 1H-PT-03	Air Bor 1H-KL-27	Air Bor 1H-KL-28	Air Sungai 4	Air Pit Aktif Tenaga	Air Pit Aktif Ba wa h	Air Pit Aktif Ba wa h	Air Bor 1H - PT-04	Air Bor 1H - PT-05	Air Bor 1H - PT-06	Air Bor 1H-KL-33	
1	Suhu	°C	28	27.9	27.9	31.8	27.6	27.9	28.3	27.6	31.1	29.1	31.5	31.5	32.3	27.7	27.9	26.3	31.3	
2	TDS	mg L ⁻¹	14	12	10	16	11.7	27	8	42	16	7	67.1	6.58	698	56	25	6	56	
3	pH		5.06	5.33	5.34	5.29	6.37	6.08	5.05	5.87	6.15	5.31	3.74	3.65	3.68	6.07	5.82	5.81	5.4	
4	Ca ²⁺	mg L ⁻¹	2.04	1.90	6.87	2.32	9.43	9.23	2.20	-	6.44	1.29	19.01	25	20.6	9.05	3.89	1.26	1.66	
5	Mg ²⁺	mg L ⁻¹	0.91	0.86	0.554	1.39	0.55	0.93	0.79	-	1.18	0.37	11.9	91.1	125	4.64	0.64	0.37	6.05	
6	Na ⁺	mg L ⁻¹	1.24	0.82	3.241	1.15	1.61	0.82	0.97	-	4.67	0.65	1.25	1.49	1.13	1.23	0.86	0.73	3.65	
7	K ⁺	mg L ⁻¹	3.1	2.01	74.809	1.76	0.78	1.01	1.47	-	10.16	1.15	2.41	4.7	2.16	3.11	1.26	0.80	5.01	
8	Mn ²⁺	mg L ⁻¹	0.057	<0.016	0.034	<0.016	0.082	0.11	0.058	0.27	<0.016	15.8	18.64	16.86	0.46	0.047	0.003	0.011		
9	Al	mg L ⁻¹	0.056	-	0.572	-	-	-	15.81	-	-	-	13.7	132	25.8	1.16	-	1.02	1.65	
10	Fe	mg L ⁻¹	0.56	0.65	7.472	0.028	0.12	0.26	5.44	0.43	<0.014	0.27	16.7	177	172	18.35	0.67	0.10	1.82	
11	Cl ⁻	mg L ⁻¹	6.49	1.94	2.749	1.19	0.52	0.86	1.12	-	0.30	1.27	5.7	6.63	6.49	1.27	3.21	1.12	1.42	
12	SO ₄ ²⁻	mg L ⁻¹	1.67	3.51	9.721	6.11	0.13	1.27	0.71	8.49	7.23	0.34	24.82	180.0	174.7	0.096	0.101	8.521		
13	HCO ₃ ⁻	mg L ⁻¹	61	24	12	24	18.3	36	48	97	109	12	61	48	61	97	48	61	170	
14	Silika (Si)	mg L ⁻¹	6.684	4.676	4.218	1.469	3.443	0.0236	10.349	27.826	26.945	4.887	8.622	8.129	8.305	4.042	2.209	5.169	26.557	

Sumber: Lab.PT. tekMIRA dan PT. Sucofindo Balikpapan, 2015



Gambar 3.2. Hubungan pH sampel air dengan TDS dan suhu pada daerah penelitian berdasarkan Formasi batuan

Komposisi kimia padatan total terlarut (*Total Dissolved Solids*, TDS) dari sampel air yang mempunyai nilai bervariasi. Nilai TDS pada kolam Pit aktif antara 6,58 - 698 mg L⁻¹ (Formasi Kampungbaru) dan pit non aktif 16 mg L⁻¹ (Formasi Balikpapan), untuk airtanah (sumur bor) dengan nilai TDS antara 6 - 56 mg L⁻¹ (Formasi Kampungbaru) dan 8 - 117 mg L⁻¹ (Formasi Balikpapan), untuk sungai dengan nilai TDS 7 mg L⁻¹ (Formasi Kampungbaru) dan 10 - 14 mg L⁻¹ (Formasi Balikpapan). Perbedaan nilai TDS mengindikasikan adanya perbedaan geokimia dari ketiga sumber sampel selama sirkulasi pengaliran yang melalui media yang berbeda, lihat Gambar 3.2.

Hasil analisis laboratorium menunjukkan, bahwa air Pit dari Formasi Kampungbaru mempunyai konsentrasi kation Ca²⁺ rata-rata

21,53 mgL⁻¹ dan ini lebih besar dibanding konsentrasi di Pit (Formasi Balikpapan) yang mempunyai nilai 2,32 mgL⁻¹, ini disebabkan daerah bekas Pit pada Formasi Kampungbaru telah mengalami proses penetraran (pengapuran). Untuk konsentrasi Ca²⁺ dari Sungai pada Formasi Balikpapan (3,61 mgL⁻¹) lebih besar dari Formasi Kampungbaru (1,29 mgL⁻¹), termasuk unruk lokasi dari bor (airtanah) yaitu Formasi Balikpapan 5,46 mgL⁻¹, sedangkan Formasi Kampungbaru 3,96 mgL⁻¹. (lihat Tabel 3.5)

Konsentrasi Fe hasil analisis laboratorium dari air *Pit* dari Formasi Kampungbaru mempunyai konsentrasi rata-rata 172 mgL⁻¹ dan ini lebih besar dibanding konsentrasi di Pit (Formasi Balikpapan) yang mempunyai nilai 0,082 mgL⁻¹, ini disebabkan daerah bekas Pit pada Formasi Balikpapan telah mengalami proses penetraran (pengapuran). Konsentrasi Fe dari Sungai pada Formasi Balikpapan (2,89 mgL⁻¹) lebih besar dari Formasi Kampungbaru (0,27 mgL⁻¹), termasuk unruk lokasi dari bor (airtanah) yaitu Formasi Balikpapan 1,25 mgL⁻¹, sedangkan Formasi Kampungbaru 5,26 mgL⁻¹. (lihat Tabel 3.5)

Konsentrasi Anion SO₄²⁻ dari sampel yang diambil dari *Pit* Formasi Kampungbaru mempunyai nilai 209,67 mgL⁻¹ dan lebih besar nilainya dibanding dari sampel F. Balikpapan yang mempunyai nilai 6,11 mgL⁻¹, sample dari Sungai Formasi Balikpapan mempunyai nilai konsentrasi 4,96 mgL⁻¹, sedangkan Formasi Kampungbaru 0,34 mgL⁻¹, sedang sampel yang diambil dari airtanah (bor) Formasi Balikpapan mempunyai nilai 3,56 mgL⁻¹, sedangkan dari Formasi Kampungbaru mempunyai nilai 7,5 mgL⁻¹. Untuk lebih detail konsentrasi Kation dan Anion air dapat dilihat pada Tabel 3.5.

Tabel 3.5. Nilai Kation – Anion dari masing-masing Formasi

Rata -rata nilai Kation – Anion							
	SUNGAI		PIT		BOR		
ION	FORMASI						
	Blpp	Kb	blpp	Kb	Blpp	Kb	
Kation	mg L-1			mg L-1		mg L-1	
Ca ²⁺	3.61	1.29	2.32	21.53	5.46	3.96	
Mg ²⁺	0.77	0.37	1.39	111.7	0.69	292	
Na ⁺	1.7	0.65	1.15	1.29	1.61	1.63	

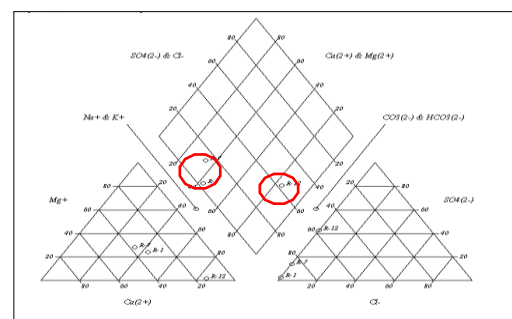
Rata -rata nilai Kation – Anion							
	SUNGAI		PIT		BOR		
ION	FORMASI						
	Blpp	Kb	blpp	Kb	Blpp	Kb	
Kation	mg L-1			mg L-1		mg L-1	
K ⁺	26.6	1.15	1.76	3.09	2.68	2.55	
Mn ²⁺	0.03	<0,016	<0,016	17.1	0.011	0.16	
Fe	2.89	0.27	0.028	172	1.25	5.26	
Anion							
Cl ⁻	3.7	1.27	1.19	6.27	0.56	1.75	
SO ₄ ²⁻	4.96	0.34	6.11	209.67	3.56	7.5	
HCO ₃ ⁻	32.33	12	24	56.66	94.6	94	

Berdasarkan kriteria dalam pembagian klasifikasi tipe air yang dikemukakan oleh Hounslow (1995), maka daerah penelitian terbagi menjadi dua tipe kualitas air. Klasifikasi ini berasal dari interpretasi hasil pengeplotan mayoritas kation anion pada diagram piper (Gambar 3.3).

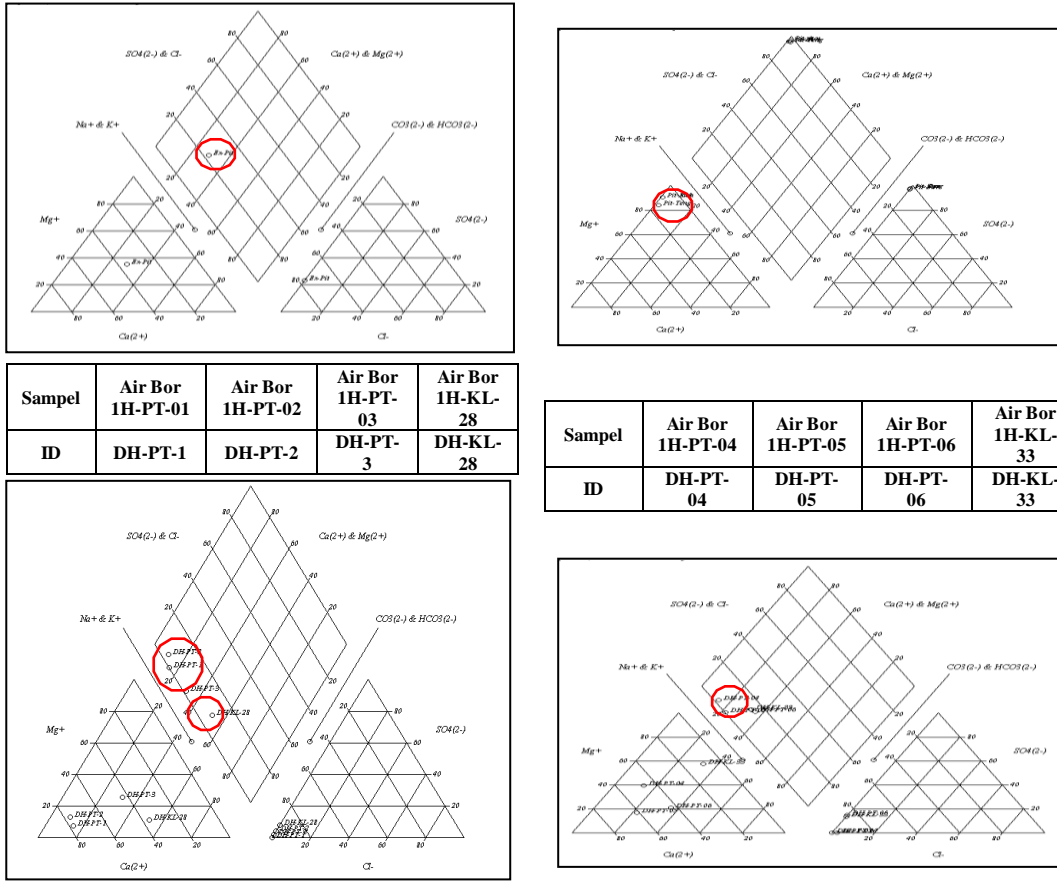
Kedua kualitas air tersebut yaitu, tipe pertama kualitas air dengan kekerasan karbonat (alkalinitas sekunder) lebih dari 50% dengan sifat kimia airtanah yang didominasi oleh alkali tanah dan asam lemah, tipe kedua dengan kegaraman sekunder atau kekerasan non-karbonat melebihi 50%, sampel air (dapat dilihat dalam diagram piper dibawah berikut).

FORMASI BALIKPAPAN

Sampel	Air Sungai 1	Air Sungai 7	Air Sungai 12
ID	R-1	R-7	R-12



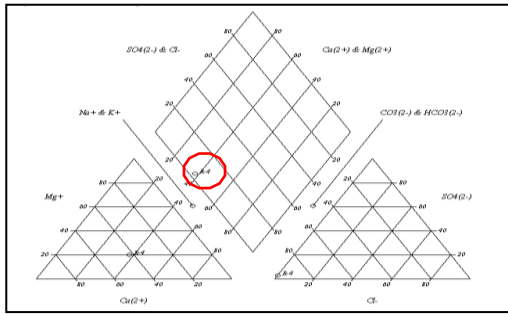
Sampel	Air Ex Pit Kolam
ID	Ex-Pit



Gambar 3.3. Diagram Piper Kation-Anion

FORMATI KAMPUNGBARU

Sampel	Air Sungai 4
ID	R-4



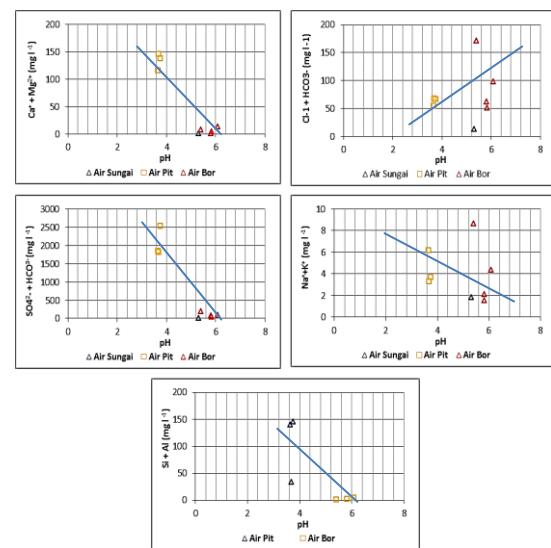
Sampel	Air Pit Aktif Atas	Air Pit Aktif Tengah	Air Pit Aktif Bawah
ID	Pit-Atas	Pit-Teng	Pit-Bwh

Konsentrasi anion terbesar dari sampel air sungai dan airtanah didominasi oleh bikarbonat (HCO_3^-). Dominasi anion bikarbonat dalam sampel air sungai dan airtanah mengindikasikan tingginya alkalinitas air sampel tersebut. Alkalinitas merupakan kapasitas air untuk menetralkan asam (*acid-neutralizing capacity*, ANC). Alkalinitas dapat diartikan sebagai kapasitas penyangga (*buffer capacity*) terhadap perubahan pH air. Penyusun alkalinitas utama daerah penelitian adalah anion bikarbonat (HCO_3^-). Secara berurutan konsentrasi unsur utama kation dan anion sampel air dari urutan tertinggi hingga terendah dapat dilihat pada Tabel 3.6.

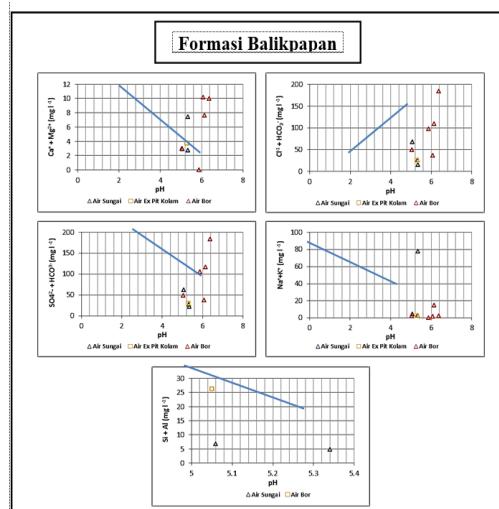
Tabel 3.6. Urutan konsentrasi ion-ion sampel air pada daerah penelitian

Kode	Kation (meq L ⁻¹)	Anion (meq L ⁻¹)
Sungai 1	$\text{Ca}^{2+} > \text{K}^+ > \text{Mg}^{2+} > \text{Na}^+ > \text{Fe} > \text{Mn}^{2+}$	$\text{HCO}_3^- > \text{Cl}^- > \text{SO}_4^{2-} > \text{Fe}_{\text{total}}$
Sungai 7	$\text{Ca}^{2+} > \text{Mg}^{2+} > \text{K}^+ > \text{Na}^+ > \text{Fe} > \text{Mn}^{2+}$	$\text{HCO}_3^- > \text{SO}_4^{2-} > \text{Cl}^- > \text{Fe}_{\text{total}}$
Sungai 12	$\text{K}^+ > \text{Ca}^{2+} > \text{Fe} > \text{Na}^+ > \text{Mg}^{2+} > \text{Mn}^{2+}$	$\text{SO}_4^{2-} > \text{HCO}_3^- > \text{Cl}^- > \text{Fe}_{\text{total}}$

Kode	Kation (meq L ⁻¹)	Anion (meq L ⁻¹)
Ex Pit Kolam	$\text{Ca}^{2+} > \text{Mg}^{2+} > \text{Na}^+ > \text{K}^+ > \text{Fe} > \text{Mn}^{2+}$	$\text{HCO}_3^- > \text{SO}_4^{2-} > \text{Cl}^{-1} > \text{Fe}_{\text{total}}$
Bor 1H-PT-01	$\text{Ca}^{2+} > \text{Na}^+ > \text{Mg}^{2+} > \text{K}^+ > \text{Fe} > \text{Mn}^{2+}$	$\text{HCO}_3^- > \text{Cl}^{-1} > \text{SO}_4^{2-} > \text{Fe}_{\text{total}}$
Bor 1H-PT-02	$\text{Ca}^{2+} > \text{Mg}^{2+} > \text{Na}^+ > \text{K}^+ > \text{Fe} > \text{Mn}^{2+}$	$\text{HCO}_3^- > \text{SO}_4^{2-} > \text{Cl}^{-1} > \text{Fe}_{\text{total}}$
Bor 1H-PT-03	$\text{Fe} > \text{Ca}^{2+} > \text{Mg}^{2+} > \text{Na}^+ > \text{K}^+ > \text{Mn}^{2+}$	$\text{HCO}_3^- > \text{Cl}^{-1} > \text{SO}_4^{2-} > \text{Fe}_{\text{total}}$
Bor 1H-KL-27	$\text{Fe} > \text{Mn}^{2+} > \text{Ca}^{2+} > \text{Mg}^{2+} > \text{Na}^+ > \text{K}^+$	$\text{HCO}_3^- > \text{SO}_4^{2-} > \text{Cl}^{-1} > \text{Fe}_{\text{total}}$
Bor 1H-KL-28	$\text{Ca}^{2+} > \text{K}^+ > \text{Na}^+ > \text{Mg}^{2+} > \text{Mn}^{2+} > \text{Fe}$	$\text{HCO}_3^- > \text{SO}_4^{2-} > \text{Cl}^{-1} > \text{Fe}_{\text{total}}$
Sungai 4	$\text{Ca}^{2+} > \text{Mg}^{2+} > \text{K}^+ > \text{Na}^+ > \text{Fe} > \text{Mn}^{2+}$	$\text{HCO}_3^- > \text{Cl}^{-1} > \text{SO}_4^{2-} > \text{Fe}_{\text{total}}$
Pit Aktif Atas	$\text{Mg}^{2+} > \text{Fe} > \text{Ca}^{2+} > \text{Mn}^{2+} > \text{K}^+ > \text{Na}^+$	$\text{SO}_4^{2-} > \text{HCO}_3^- > \text{Cl}^{-1} > \text{Fe}_{\text{total}}$
Pit Aktif Tengah	$\text{Mg}^{2+} > \text{Fe} > \text{Ca}^{2+} > \text{Mn}^{2+} > \text{K}^+ > \text{Na}^+$	$\text{SO}_4^{2-} > \text{HCO}_3^- > \text{Cl}^{-1} > \text{Fe}_{\text{total}}$
Pit Aktif Bawah	$\text{Mg}^{2+} > \text{Fe} > \text{Ca}^{2+} > \text{Mn}^{2+} > \text{K}^+ > \text{Na}^+$	$\text{SO}_4^{2-} > \text{HCO}_3^- > \text{Cl}^{-1} > \text{Fe}_{\text{total}}$
Bor 1H-PT-04	$\text{Fe} > \text{Ca}^{2+} > \text{Mg}^{2+} > \text{K}^+ > \text{Na}^+ > \text{Mn}^{2+}$	$\text{HCO}_3^- > \text{Cl}^{-1} > \text{SO}_4^{2-} > \text{Fe}_{\text{total}}$
Bor 1H-PT-05	$\text{Ca}^{2+} > \text{Mg}^{2+} > \text{Na}^+ > \text{K}^+ > \text{Fe} > \text{Mn}^{2+}$	$\text{HCO}_3^- > \text{Cl}^{-1} > \text{SO}_4^{2-} > \text{Fe}_{\text{total}}$
Bor 1H-PT-06	$\text{Ca}^{2+} > \text{Na}^+ > \text{Mg}^{2+} > \text{K}^+ > \text{Fe} > \text{Mn}^{2+}$	$\text{HCO}_3^- > \text{SO}_4^{2-} > \text{Cl}^{-1} > \text{Fe}_{\text{total}}$
Bor 1H-KL-33	$\text{Mg}^{2+} > \text{Na}^+ > \text{K}^+ > \text{Ca}^{2+} > \text{Fe} > \text{Mn}^{2+}$	$\text{HCO}_3^- > \text{SO}_4^{2-} > \text{Cl}^{-1} > \text{Fe}_{\text{total}}$



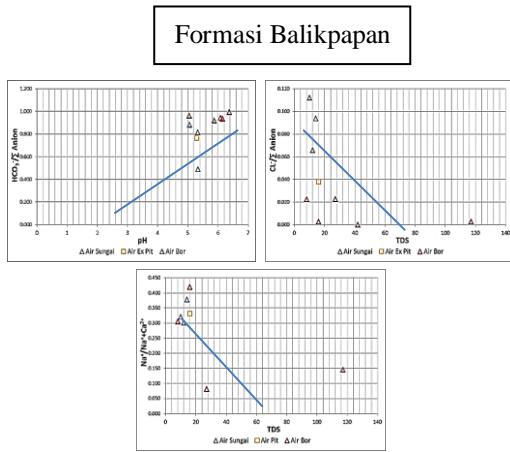
Gambar 3.5. Hubungan pH sampel air dengan unsur utama pada daerah penelitian pada Formasi Kampungbaru



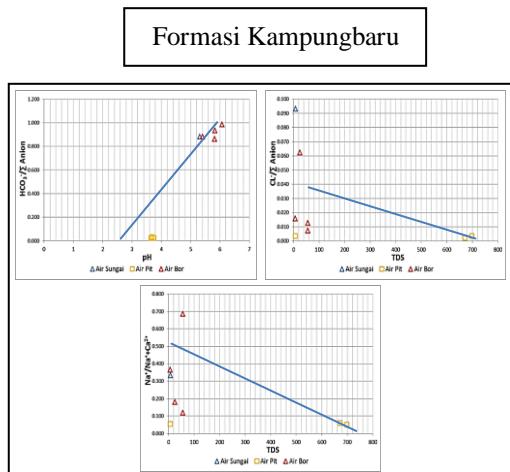
Gambar 3.4. Hubungan pH sampel air dengan unsur utama pada daerah penelitian pada Formasi Balikpapan

Gambar 3.4 dan Gambar 3.5, menunjukkan tipikal hubungan konsentrasi unsur-unsur utama dengan kondisi pH air. Unsur utama mempunyai kecenderungan menurun (negatif) dengan naiknya pH air. Kecuali hubungan antara $\text{Cl}^- + \text{HCO}_3^-$ dan $\text{Na}^+ + \text{K}^+$ dengan pH pada sampel air kolam pengendapan yang mempunyai kecenderungan naik (positif) searah naiknya pH.

Kondisi ini disebabkan oleh beberapa hal, antara lain: (1) grafik positif pada hubungan $\text{Cl}^- + \text{HCO}_3^-$ dengan pH pada kolam pengendapan terjadi akibat derajat pelarutan yang besar dari batuan yang kaya akan mineral karbonat atau bikarbonat, (2) grafik positif hubungan $\text{Na}^+ + \text{K}^+$ dengan pH pada kolam pengendapan disebabkan adanya pengayaan unsur Na^+ dan K^+ dari mineral lempung seperti kaolinit dan illit.



Gambar 3.6. Hubungan pH dengan rasio unsur utama sampel air daerah penelitian pada Formasi Balikpapan



Gambar 3.7. Hubungan pH dengan rasio unsur utama sampel air daerah penelitian pada Formasi Kampungbaru.

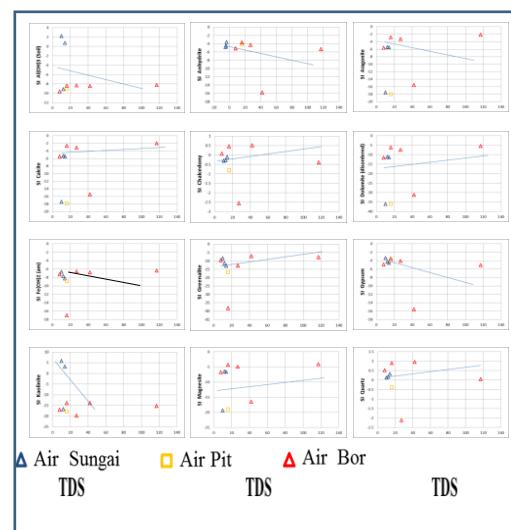
Pada Gambar 3.6 dan 3.7 menunjukkan hubungan rasio antara konsentrasi ion dengan perubahan pH pada sampel air. Hubungan antara $\text{HCO}_3^-/\Sigma\text{anion}$ dengan pH mempunyai korelasi positif, yaitu makin tingginya nilai pH, maka makin tinggi pula konsentrasi $\text{HCO}_3^-/\Sigma\text{anion}$ pada sampel air. Tingginya konsentrasi rasio $\text{HCO}_3^-/\Sigma\text{anion}$ yang mempunyai nilai rata-rata diatas 0,8 disebabkan adanya pelapukan batuan silikat dan karbonat (Hounslow, 1995). Hubungan ini sama dengan rasio $\text{Cl}^-/\Sigma\text{anion}$ terhadap nilai TDS, yang mengindikasikan adanya pelapukan batuan yang disebabkan nilai

perbandingannya kurang dari 0,8 (Hounslow, 1995).

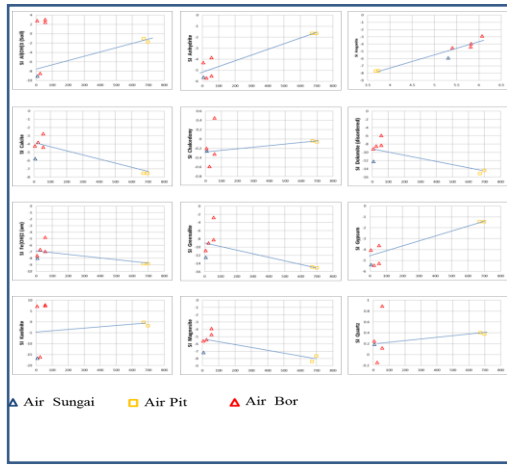
Sementara itu, hubungan rasio $\text{Na}^+/\text{Ca}^{2+}$ terhadap perubahan TDS mengalami penurunan atau negatif, yang berarti makin tinggi rasio $\text{Na}^+/\text{Ca}^{2+}$, maka nilai TDS makin rendah. Perubahan ini dimungkinkan akibat adanya percampuran air hujan terhadap air sampel, terutama pada kolam pengandapan, yang berdasarkan data curah hujan maksimum harian rata-rata daerah penelitian masuk kategori lebat ($>100 \text{ mm } 24 \text{ jam}^{-1}$).

Indek Kejenuhan (Saturation Index, SI)

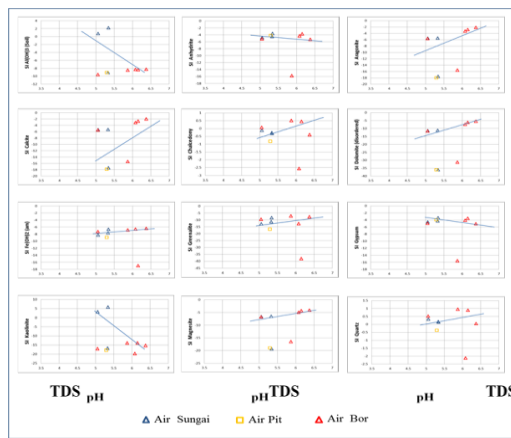
Didasarkan pada perbandingan konstanta hasil kelarutan (K_{sp}) dari mineral-mineral batuan dengan konstanta hasil kali aktivitas ion (K_{LAP}). Besaran konstanta K_{sp} bersumber dari data base dari program WATEQ4F (Ball & Nordstrom, 1991). Perhitungan derajat indek kejenuhan (SI) air terhadap berbagai macam mineral, yang didasarkan dari konsentrasi ion-ion larutan (sampel air), pada daerah penelitian dengan menggunakan program PHREEQC (Appelo & Parkhurst, 2011), maka diperoleh perbandingan seperti yang tertera dalam Gambar 3.8, 3.9, 3.10 dan 3.11 berikut dibawah;



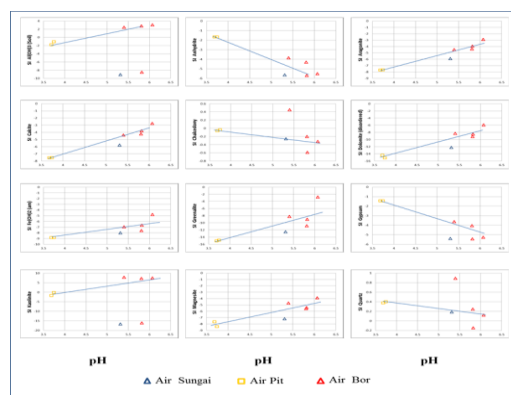
Gambar 3.8 Hubungan TDS dengan indek kejenuhan (SI) mineral pada daerah penelitian pada Formasi Balikpapan.



Gambar 3.9 Hubungan TDS dengan indek kejenuhan (SI) mineral pada Formasi Kampungbaru.



Gambar 3.10 Hubungan antara indek kejenuhan (SI) mineral dengan pH pada Formasi Balikpapan



Gambar 3.11. Hubungan antara indek kejenuhan (SI) mineral dengan pH pada Formasi Kampungbaru

3.3.2. Karakteristik Mineralogi Batuan Analisis Petrografi

Hasil analisis petrografi dari sampel batuan diperoleh komposisi mineral penyusun batuan dan sifat fisik batuan. Sifat fisik batuan meliputi ukuran butiran, derajat pembundaran, derajat pemilahan, dan kemas. Pada analisis sayatan tipis penaman batuan sedimen silisiklastik berdasarkan klasifikasi Gilbert (1982) dan karbonat dengan klasifikasi Dunham (1962). Hasil dari analisis petrografi dapat dilihat pada Tabel 3.7 dibawah.

Tabel 3.7. Komposisi mineral pada sayatan petrografi

N O	CO DE	NAMA BATUAN	KOMPOSISI MINERAL (%)	PENAMAAN PETROGRAFI
FORMASI BALIKPAPAN				
1	IH- PT- 01	SOIL	Kwarsa Felspar Mineral Opak Lempung	10% 5% 10% 75% Claystone (Pettijohn, 1972)
2	IH- PT- 02	Lempung merah	Kwarsa Felspar Mineral Opak	15% 5% 5% Claystone (Pettijohn, 1972)
3	IH- PT- 03	Pasir	Lempung Kwarsa Felspar Mineral Opak	75% 85% 10% Quartz Arenite (Pettijohn, 1972)
4	IH- PT- 01	Lempung	Kwarsa Felspar Mineral Opak Lempung	10% 5% 5% 80% Claystone (Pettijohn, 1972)
5	IH- PT- 01	Pasir	Kwarsa Felspar Mineral	85% 10% 5% Quartz Arenite (Pettijohn, 1972)

No	CODE	NAMA BATUAN	KOMPOSISI MINERAL (%)	PENAMAAN PETROGRAFI
6	IH-PT-03	Batubara	Opak 10%	Coal
7	IH-PT-04	Lempung	Kwarsa 10% Felspar 5% Min 10% Opak % Lempung 75%	Coaly Claystone (Pettijohn, 1972)
FORMASI KAMPUNGBARU				
8	IH-PT-04	SOIL	Kwarsa 15% Felspar 5% Min 5% Opak 5% Lempung 75%	Claystone (Pettijohn, 1972)
9	IH-PT-06	Batubara	Karbon 10%	Coal
10	IH-PT-06	Lempung pasiran	Kwarsa 30% Felspar 10% Min 5% Opak 5% Lempung 55%	Claystone (Pettijohn, 1972)
11	IH-PT-05	Pasir	Kwarsa 85% Felspar 10% Min 5%	Quartz Arenite (Pettijohn, 1972)

Aalysis XRD

Hasil analisi defraksi XRD (radiasi Cu-K α), bahwa mineral-mineral yang dijumpai pada daerah penelitian dengan analisis sudut defraksi (2θ) dan indek millier, maka didapatkan mineral penyusun batuan beserta nilai intensitasnya Å seperti yang tertera dalam Tabel 3.8 berikut dibawah :

Tabel 3.8. Nilai refleksi mineral (Å) batuan daerah penelitian

NO	S A M P E L	BA TU AN	MINE RAL	KOMPOS ISI KIMIA	MIN ERA L DO MN AN	Inte nsit as (Å)
1	Bo r IH-I-I	Soil	Quartz	Si O2	Goesc hwitz, Mica	4.288
			Kaolinit e	Al2 (Si2O5) (OH)4		7.204
			Goesch witz, Mica	K - Mg - Fe - Al Si O2 - H2 O		10.347
2	Bo r IH-I-3	Batu pasir	Quartz	Si O2	Quart z	4.285
3	Bo r IH-I-7	Batu lemp ung	Quartz	Si O2	Musc ovite-3	4.245
			Kaolinit e	Al2 Si2 O5 (OH)4		4.470
			Muscov ite	(K,Na)(Al,Mg,Fe)2(Si3.1Al0.9)O10 (OH)2		9.972
4	Bo r IH-II-1	Soil	Quartz	Si O2	Kaoli nite I\ITA \RG	2.463
			Kaolinit e	Al2 (Si2O5) (OH)4		7.204
			Lepidoc rocite	FeO (OH)		6.297
5	Bo r IH-II-3	Batu lemp ung	Quartz	Si O2	Musc ovite	4.263
			Kaolinit e	Al2 Si2 O5 (OH)4		7.184
			Muscov ite	(K,Na)(Al,Mg,Fe)2(Si3.1Al0.9)O10 (OH)2		10.062
6	Bo r IH-II-4	Lem pung pasir an	Quartz	Si O2	Illite	4.286
			Kaolinit e	Al2 (Si2 O5) (OH)4		7.148
			Illite	(K ,H3O) Al2 Si3 AlO10 (OH)2		10.027
7	Bo r IH-III-4	Batu pasir (halu s)	Quartz	Si O2	Green alite	4.289
			Greenal ite	(Fe, Mn)3 Si2 O5 (OH)4		7.221
			Kaolinit e	Al2 Si2 O5 (OH)4		4.448
			Kaolin ite	Al2 (Si2 O5) (OH)4		5.462
8	Bo r IH - III -4	Bat ule mpu ng	Quartz	Si O2	Illite	3.364
			Illite-2\ITM\ RG#1 [NR]	(K,H3O) Al2 Si3 Al O10 (OH)2		10.043
				Al2 (Si2		7.225

N O	S A M P E L	BATU AN	MINE RAL	KOMPOS ISI KIMIA	MIN ERA L DO MN AN	Inte nsit as (Å)	N O	S A M P E L	BATU AN	MINE RAL	KOMPOS ISI KIMIA	MIN ERA L DO MN AN	Inte nsit as (Å)
			Kaolinite	O5) (OH)4						licate formam ide (Dickite)			
9	Bor IH-IV-1	Soil	Quartz	Si O2	Nacrite	4.293	1	Bor IH-KL-XX-III-1	Batu pasir (kas ar)	Quartz	Si O2	Green alite	4.281
			Nacrite	Al2 Si2 O5 (OH)4		7.235				Greenalite	(Fe, Mn)3 Si2 O5 (OH)4		7.210
10	Bor IH-IV-6	Bat ule mpu ng	Quartz	Si O2	Muscovite	3.364	2	Bor IH-KL-XX-III-4	Bat ule mpu ng	Quartz	Si O2	Montmorillonite	4.270
			Muscovite	(K, NH4, Na) Al2 (Si, Al)4 O10 (OH)2		10.122				Montm orillonite	(Na,Ca)0.3(Al,Mg)2 Si2O10 (OH)2 ln H2O		14.675
			Kaolinit e I\ITA\ RG	Al2 (Si2 O5) (OH)4		7.176				Greenalite	(Fe, Mn)3 Si2 O5 (OH)4		3.584
11	Bor IH-IV-7	Batu pasir	Quartz	Si O2	Quartz	4.268	21	Bor IH-KL-XX-III-2	Bat ule mpu ng	Quartz	Si O2	Illite	3.354
12	Bor IH-V-1	Soil	Quartz	Si O2	Illite	4.280				Birnessite	Na0.55 Mn2 O4 !1.5 H2 O		7.195
			Illite	(K, H3O) Al2 Si3 Al O10 (OH)2		10.077				Illite	K0.5 (Al, Fe, Mg)3 (Si, Al)4 O10 (OH)2		10.050
			Nacrite	Al2 Si2 O5 (OH)4		3.599							
13	Bor IH-V-2	Batu pasir (kas ar)	Quartz	Si O2	Green alite	4.285	14	Bor IH-V-3	Lem pung pasir an	Quartz	Si O2	Illite	3.335
			Greenalite	(Fe, Mn)3 Si2 O5 (OH)4		7.212				Illite	10.056		
14	Bor IH-V-3	Lem pung pasir an	Quartz	Si O2	Illite	4.280	15	Bor IH-VI-1	Soil	Quartz	Si O2	Illite	10.056
			Kaolinit e	Al2 (Si2 O5) (OH)4		7.169				Muscovite	10.127		
			Illite	(K, H3O) Al2 Si3 Al O10 (OH)2		10.046				Greenalite	7.189		
15	Bor IH-VI-1	Soil	Quartz	Si O2	Muscovite	4.283	16	Bor IH-VI-3	Batu lempung	Quartz	Si O2	Illite	3.335
			Muscovite	K Al3 Si3 O10 (OH)2		10.127				Quartz	Si O2		
			Greenalite	Fe3 Si2 O5 (OH)4		7.189				Illite	10.056		
16	Bor IH-VI-3	Batu lempung	Quartz	Si O2	Alum inium tetrah ydrox odisili cate forma mide	3.335	17	Bor IH-VI-5	Batu pasir (kas ar)	Quartz	Si O2	Illite	7.189
			Illite	(K, H3O) Al2 Si3 Al O10(OH)2		10.056				Quartz	Si O2		
			Birnessite	Na0.55 Mn2 O4 !1.5 H2 O		7.189				Illite	10.056		
17	Bor IH-VI-5	Batu pasir (kas ar)	Quartz	Si O2	Quartz	4.279	18	Bor KL-XX-3	Batu lempung	Quartz	Si O2	Illite	4.264
18	Bor KL-XX-3	Batu lempung	Birnessite, syn	Na0.55 Mn2 O4 !1.5 H2 O	Alum inium tetrah ydrox odisili cate forma mide	7.199				Quartz	Si O2		
			Alumin ium tetrahyd roxodisi	Al2 Si2 O5 (OH) 4 (HCONH2)		10.077				Quartz	Si O2		

Pada Tabel 3.8 diatas menunjukkan hasil analisis mineral sekunder dengan XRD. Secara ringkas, uraian keberadaan mineral dari sampel batuan yang terdiri dari mineral mineral seperti: mineral kuarsa, mineral lempung (kaolinit, illit), greenalite, binneite, dan pirit (lihat Tabel ersebut diatas). Mineral kuarsa merupakan mineral dengan komposisi utama SiO_2 dengan bentuk kristal trigonal dengan sebaran hampir merata pada sampel batuan yang diambil. Mineral kaolinit (kaolin) banyak dijumpai pada zona pelapukan dan pada kedalaman 3-25 m serta sebagai mineral ubahan dari feldspar. Mineral illit cukup melimpah pada kedalaman 24-34,4 m. Mineral pirit dengan struktur framboidal terbentuk secara autigenik dalam batuan permukaan yang mengisi rongga dalam batuan.

Analisa XRF

Hasil dari analisis X Ray Fluorescence (XRF) diperoleh kandungan komposisi kimia seperti pada Gambar 3.12 :

Sulfur (S)

- Batupasir sebesar 0,0916 (F.Kampungbaru) dan 0,015 (F. Balikpapan).
- Batubara sebesar 0,410 (F. Kampungbaru) dan 0,193 (F. Balikpapan).
- Batulempung sebesar 0,15 (F. Kampungbaru) dan 0,092 (F. Balikpapan).

SiO_2

- Soil sebesar 76,63 (F. Kampungbaru) dan 7,93 (F. Balikpapan).
- Lempung pasiran sebesar 58 (F. Kampungbaru) dan 58,89 (F. Balikpapan).
- Batupasir sebesar 57,95 (F. Kampungbaru) dan 69,15 (F. Balikpapan).
- Batubara sebesar 10,107 (F. Kampungbaru) dan 58,89 (F. Balikpapan).

Fe_2O_3

- Soil sebesar 3,42 (F. Kampungbaru) dan 4,24 (F. Balikpapan).
- Lempung pasiran sebesar 1,710 (F. Kampungbaru) dan 3,14 (F. Balikpapan).
- Batupasir sebesar 1,32 (F. Kampungbaru) dan 0,51 (F. Balikpapan).
- Batubara sebesar 1,611 (F. Kampungbaru) dan 2,09 (F. Balikpapan).

Al_2O_3

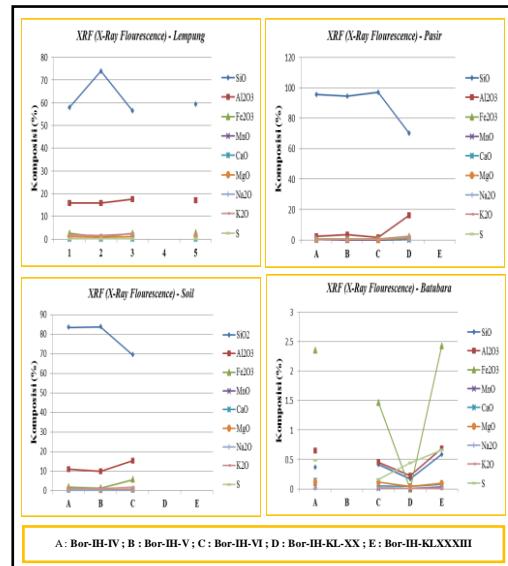
- Soil sebesar 12,705 (F. Kampungbaru) dan 14,26 (F. Balikpapan).
- Lempung pasiran sebesar 16,37 (F. Kampungbaru) dan 17,43 (F. Balikpapan).
- Batupasir sebesar 8,91 (F. Kampungbaru) dan 3,305 (F. Balikpapan).
- Batubara sebesar 0,415 (F. Kampungbaru) dan 5,37 (F. Balikpapan).

CaO

- Soil sebesar 0,027 (F. Kampungbaru) dan 0,167 (F. Balikpapan).
- Lempung pasiran sebesar 0,042 (F. Kampungbaru) dan 0,117 (F. Balikpapan).
- Batupasir sebesar 8,91 (F. Kampungbaru) dan 3,305 (F. Balikpapan).
- Batubara sebesar 0,094 (F. Kampungbaru) dan 0,247 (F. Balikpapan).

FORMASI KAMPUNG BARU

FORMASI KAMPUNG BARU

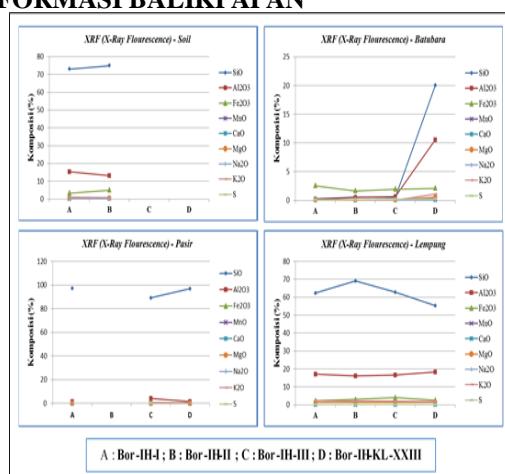


Gambar 3.12. Persentase unsur mineralogi batuan

Analisa Keasaman Batuan (PAF)

Air asam tambang (AAT) merupakan air asam yang timbul akibat aktivitas penambangan yang berupa air lindian (*leachate*), rembesan (*seepage*), atau aliran (*drainage*). Air asam adalah air yang bersifat asam mempunyai tingkat keasaman tinggi yang sering ditandai dengan nilai pH rendah (< 5) sebagai akibat dari reaksi oksidasi mineral sulfida, seperti pirit (FeS_2), yang terpapar (*exposed*) di udara dengan kehadiran air (Herbert, 1994). Di daerah penelitian, mineral pirit banyak dijumpai pada *floor* batubara yang telah tergalih (*mined out*), seperti terlihat pada Gambar 3.13 dibawah.

FORMASI BALIKPAPAN



Gambar 3.13. Air Pit tambang warna coklat kemerahan akibat pengaruh dari mineral pirit atau sejenisnya yang terdapat pada batu lempung atau coalyshale.

Metode analisis yang diterapkan pada penelitian ini adalah metode NAPP (*Net Acid Producing Potential*). NAPP adalah metode analisis untuk mengetahui potensi keasaman tanah/batuhan tambang, yang dinyatakan dalam kg H₂SO₄ tiap ton. Parameter acuan untuk mengetahui potensi PAF atau NAF pada metode NAPP berdasarkan pada perbandingan antara nilai NAPP dengan NAG (*Net Acid Generation*)

Tabel 3.9. Tabel karakteristik lapisan NAF daerah penelitian

N 0	Titik Bor	Kedala man lapisan (m)	Litol ogi yang domi nan	MP A	A N C	NAPP (MPA- ANC)	pH (N AG)
FORMASI BALIKPAPAN							
1	D H - P T- O 1	O 1	0.4	Soil	1.5	-1.1	2.6 4.6 3
	D H - P T- O 1	O 2	54	Batubara	7.4	-8.3	15.7 1.9 9
	D H - P T- O 1	O 3	12.1	Pasir kasar	4.6	-0.1	4.7 2.6 3
	D H - P T- O 1	O 4	55	Lempung	2.5	69.5	-67 6.3
2	D H - P T- O 2	O 1	1.05	Pasir halus	1.5	0.5	1 4.3 6
	D H - P T- O 2	O 2	59.3	Batubara	8.9	-9.5	18.4 4.9 3
	D H - P T- O 2	O 3	28.1	Lempung pasiran	3.4	4	-0.6 3.5 5
3	D H - P T- O 3	O 1	41.4	Batubara	10. 1	-12.1	22.2 2.0 1
	D H - P T- O 3	O 2	0.2	Pasir	1.8	-0.4	2.2 3.3 8
	D H - P T- O 3	O 3	39.15	Lempung	1.5	1.4	0.1 3.5 5
FORMASI KAMPUNGBARU							
4	D H - P T- O 4	O 1	1.1	Soil	1.5	0.4	1.1 4.4 7
	D H - P T- O 4	O 2	21.45	Batubara	26. 3	-13.2	39.5 1.8 9
	D H - P T- O 4	O 3	4.1	Lempung	6.1	10.1	-4 3.5 6
	D H - P T- O 4	O 4	37.65	Batupasir	1.5	1.3	0.2 3.8 7
5	D H - P T- O 5	O 1	7.5	Batupasir kasar	1.5	0.4	1.1 3.8 1
	D H - P T- O 5	O 2	24.6	Lempung pasiran	2.8	-0.8	3.6 2.8 9
6	D H - P T- O 6	O 1	3.39	Batupasir kasar	1.5	0.7	0.8 3.6 3
	D H - P T- O 6	O 2	5.6	lempung pasiran	2.1	0.1	2 3.0 4
	D H - P T- O 6	O 3	11.35	Batubarar a	10. 7	-16.3	27 1.9 9

Pada Tabel 3.9, menjelaskan secara ringkas lapisan PAF dengan jenis litologinya.

Batulempung mendominasi lapisan PAF dengan kisaran pH antara 2.89 hingga 3.55. Pada lapisan PAF dominasi batulempung hampir dijumpai secara merata pada tiap sampel dari log bor dengan kisaran pH antara 2,8 sampai 3.55. Lapisan PAF mempunyai ketebalan dengan kisaran ketebalan antara 2,5 sampai 15,5 meter. Meskipun dijumpai lapisan yang relative kurang tebal < 35 meter, namun secara keseluruhan lapisan PAF lebih mendominasi dari pada lapisan NAF di daerah penelitian.

4. Kesimpulan

Tingkat keasaman air dari setiap bentuk lahan/lokasi akan berbeda, seperti bentuk lahan yang berupa Pit, Sungai (air permukaan) dan air dari dalam Bor (airtanah). Daerah atau areal yang telah terganggu akan lebih mudah mengalami proses pelapukan kimia, sehingga proses oksidasi mineral sulfide akan lebih cepat. Faktor jenis litologi batuan sangat besar berpengaruh terhadap tingkat keasaman batuan, semakin tinggi kandungan mineral logam akan lebih mudah membentuk kimia keasaman airtanah. Jenis formasi batuan sangat menentukan tingkat keasaman batuan dan tingkat kontaminasi airtanah suatu daerah.

Ucapan Terima Kasih

Kami menyampaikan ucapan Terimakasih kepada seluruh managemen dan jajarannya perusahaan PT. Raja Kutai Baru Makmur (PT.RKBM), yang telah banyak membantu dalam proses penelitian kami dilapangan dan pemberian referensinya.

Selain itu penulis juga mengucapkan terimakasih kepada Bpk. DR. Heru Hendrayana, Bpk. DR. Arifudin Idrus, dari Jurusan Teknik Geologi, Fakultas Teknik Universitas Gadjah Mada selaku Promotor kami.

Daftar Pustaka

- Appelo, C.A.J., Parkhurst, D.L., 2012, PHREEQC, A Hydrogeochemical Transport Model, Graphical User Interface, V.E.A. Post, USGS
- Ball, J.W., and Nordstrom, D.K, 1991, User's Manual for WATEQ4F, with Revised Thermodynamic Database and Test Cases for Calculating Speciation of Minor, Trace and Redox Element in

- Natural Waters*, U.S. Geol. Surv., *Open File Rep.* 91-183, 189
- Garrels, R. M. ,1984. Montmorillonite/illit stability stability diagram. *Clays and Clay minerals* 32, 161-166.
- Herbert, B., 1994, *Metal Transport in Groundwater Contaminated by Acid Mine Drainage*, Inst. of Eart Science University of Uppsala, Sweden.
- Hounslow Arthur, 195, *Water Quality Data: Analysis and interpretation*, CRC Press, New york, p.88-90
- Irawan, D.E., Puradimaja, D.J., 2013 Lembar Kerja Hidrogeologi Umum, Kelompok Keahlian Geologi Terapan Fakultas Ilmu Dan Kebumian Institute Teknologi Bandung.
- Lobeck, A.K., 1939, *Geomorphology*, McGraw-Hill Book Company, New York
- Mandel, S., Shiftan, Z.L., 1981, *Grounwater Resources: Investigation And Development*, Academic Press. Inc, USA.
- Supriatna, S., Sukardi, Rustandi, 1995, *Peta Geologi Bersistem, Lembar Samarinda, Kalimantan*, Skala 1 : 250.000, Pusat Penelitian Dan Pengembangan Geologi Bandung.